

Вычислим коэффициенты нелинейного преобразования нормальных координат. Для этого воспользуемся формулой (10) работы [2]

$$q_t^i = L_s^i Q^s + \frac{1}{2} L_{s' s''}^i Q^{s'} Q^{s''} + \frac{1}{6} L_{s' s'' s'''}^i Q^{s'} Q^{s''} Q^{s'''},$$

где

$$\left. \begin{aligned} L_{s' s''}^i &= \xi_{j k}^i L_s^j L_{s''}^k, \\ L_{s' s'' s'''}^i &= \xi_{j k l}^i L_s^j L_{s''}^k L_{s'''}^l. \end{aligned} \right\} \quad (12)$$

Умножим обе части выражений (12) слева на  $(L^{-1})_i^s$  и просуммируем по  $i$ . Получим выражение (8), где

$$\tau_{s' s''}^s = (L^{-1})_i^s L_{s' s''}^i, \quad \tau_{s' s'' s'''}^s = (L^{-1})_i^s L_{s' s'' s'''}^i. \quad (13)$$

После подстановки в (13) выражений (4), (5), (12) будем иметь

$$\tau_{s' s''}^s = \frac{1}{2} (\chi_{s' s''}^{s s''} + \chi_{s'' s'}^{s s''} - \chi_{s' s'}^{s s''}), \quad (14)$$

где

$$\chi_{s' s''}^{s s''} = \frac{\partial G^{i k}}{\partial q_t^j} (L^{-1})_i^s (L^{-1})_k^{s''} L_{s''}^j,$$

(величины  $\eta$ ,  $\xi$  и  $\chi$  не являются тензорами) и

$$\tau_{s' s'' s'''}^s = \frac{1}{3} \left[ \tau_{s' s''}^{s s'''} + \tau_{s'' s'}^{s s'''} + \tau_{s' s'}^{s s'''} - \frac{1}{2} (\tau_{s' s''}^{s s'''} + \tau_{s'' s'}^{s s'''} + \tau_{s' s'}^{s s'''}) \right], \quad (15)$$

где

$$\begin{aligned} \tau_{s' s''}^{s s''} &= D_{j l}^{i k} (L^{-1})_i^s (L^{-1})_k^{s''} L_{s''}^j L_{s''}^l = \chi_{s' s''}^{s s''} + \chi_{s' s''}^{s s''} \tau_{s' s''}^s - \tau_{s' s''}^s \tau_{s' s''}^{s s''} - \tau_{s' s''}^s \tau_{s' s''}^{s s''}, \\ \chi_{s' s''}^{s s''} &= \frac{\partial^2 G^{i k}}{\partial q_t^j \partial q_t^l} (L^{-1})_i^s (L^{-1})_k^{s''} L_{s''}^j L_{s''}^l. \end{aligned}$$

Таким образом, задача вычисления кинематической ангармоничности в нормальных координатах сводится к вычислению величин  $\chi_{s' s''}^{s s''}$  и  $\chi_{s' s''}^{s s''}$ .

#### Литература

- [1] А. Я. Цауне, Н. Т. Сторчай, Л. В. Белявская, В. П. Морозов. Опт. и спектр., 26, 923, 1969.
- [2] A. R. Hooy, T. M. Mills, G. Streuy. Molec. Phys., 24, 1265, 1972.
- [3] Ю. И. Пономарев, М. Р. Расовский, Г. В. Ховрин. Опт. и спектр., 32, 856, 1977.
- [4] М. А. Ельяшевич, Л. А. Грибов. ДАН СССР, 166, 1080, 1966.

Поступило в Редакцию 29 июня 1977 г.

УДК 535.375 : 5+621.373 : 535

## ИССЛЕДОВАНИЕ СТЕПЕНИ ДЕПОЛИАРИЗАЦИИ ЛИНИЙ ВКР В РАСТВОРАХ

Н. И. Резаев и М. Б. Табиби

Как было установлено ранее, межмолекулярное взаимодействие может оказывать влияние на спектральный состав [1-5], интенсивность [3, 4, 6] и порог генерации [4, 5] линий вынужденного комбинационного рассеяния (ВКР) в жидкостях. В настоящей работе ставилась задача выяснить влияние межмолекулярного взаимодействия на степень деполяризации линий ВКР в жидкостях. В работе измерены степени деполяризации линий ВКР чистого ширцана, а также его растворов в уксусной и муравьиной кислотах. Известно, что с молекулами этих кислот пиридин сильно взаимодействует и образует межмолекулярные водородные связи.

Степень деполяризации линий ВКР измерялась на установке, схема которой изображена на рисунке, а. Линейно поляризованное лазерное излучение, полученное с помощью оптического квантового генератора на рубине З, фокусировалось линзой З

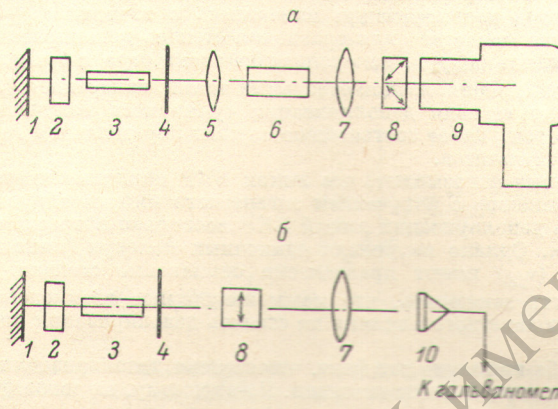
внутрь кюветы с исследуемым веществом 6. Возбужденное излучение ВКР проходило линзу 7, анализатор 8 и попадало в спектрограф 9.

Анализатором служила поляроидная пленка, расположенная в плоскости щели спектрографа. Чтобы за один импульс лазерного излучения зафиксировать две компоненты линии ВКР со взаимно перпендикулярной ориентацией электрических векторов, анализатор был сделан из двух кусков поляроидной пленки со взаимно перпендикулярным направлением осей поляризации. Ориентация поляроидных пленок производилась таким образом, чтобы плоскость поляризации одной из них была параллельна плоскости поляризации лазерного излучения, а плоскость поляризации другой — перпендикулярна.

Степень деполяризации спектральных линий определялась как отношение

$$\rho = \frac{I_{\perp}}{I_{\parallel}},$$

где  $I_{\perp}$  и  $I_{\parallel}$  — интенсивности компонентов, у которых плоскости поляризации расположены соответственно перпендикулярно и параллельно плоскости поляризации возбуждающего излучения лазера.



Оптическая схема для измерения степени деполяризации линий ВКР фотографическим методом (а) и контрольная оптическая схема (б).

1 — 100%-е зеркало резонатора лазера, 2 — модулятор добротности (раствор криптоцианина в этиловом спирте), 3 — рубиновый стержень, 4 — прозрачное зеркало резонатора, 5, 7 — линзы, 6 — исследуемое вещество в кювете, 8 — поляроидная пленка, 9 — спектрограф ИСП-51, 10 — термобатарея.

Чтобы уменьшить поляризующее влияние призмы спектрографа на наблюдаемую величину степени деполяризации спектральных линий, плоскость поляризации рубинового стержня 3 располагалась под углом  $45^{\circ}$  по отношению к преломляющему ребру призмы. При этом компоненты с интенсивностями  $I_{\perp}$  и  $I_{\parallel}$  находились в одинаковых условиях по отношению к преломляющим граням призмы спектрографа.

Как показали измерения, спектральная установка все же вносила некоторые искажения в наблюдаемую степень деполяризации спектральных линий. Поэтому для контрольных измерений спектрограф заменялся термобатареей 10 (см. рисунок, б). В частности, измерения степени деполяризации излучения лазера в режиме свободной генерации и гигантского импульса с помощью термобатареи (см. рисунок, б) дали соответственно значения  $\rho = 0.013 \pm 0.005$  и  $0.015 \pm 0.005$ . В этом опыте исследуемое вещество убиралось и анализатор в виде одного куска поляроидной пленки располагался непосредственно за лазером. Интенсивности компонентов  $I_{\perp}$  и  $I_{\parallel}$  регистрировались последовательно с помощью гальванометра.

При фотографическом методе измерения с использованием спектрографа степень деполяризации излучения лазера получалась завышенной, а именно в режиме свободной генерации, и в режиме гигантского импульса она составляла величину  $0.13 \pm 0.01$ . Эти искажения, вносимые спектральной установкой, учитывались при измерении степени деполяризации спектральных линий по варианту а.

Было установлено также, что поляризующее действие поляроидной пленки зависит от длины волн излучения. Это учитывалось при измерении степени деполяризации линий, расположенных в различных спектральных областях.

Измеренные таким образом степени деполяризации  $\rho$  линий спектра ВКР представлены в таблице. Здесь  $\rho_{v_0}$  относится к возбуждающей линии,  $\rho_{v_1}$  — к линии ВКР полносимметричного колебания молекулы пиридина с частотой  $v_1 = 990 \text{ см}^{-1}$ ,  $\rho_{v_{14}}$  — к линии ВКР того же колебания, но для молекулы пиридина, ассоциированной в комплекс с молекулой кислоты ( $v_{14} = 1007$  и  $1005 \text{ см}^{-1}$  соответственно в растворах пиридина с муравьиной и уксусной кислотами),  $\rho_{v_2}$  — к линии ВКР колебания молекулы пиридина с частотой  $v_2 = 1030 \text{ см}^{-1}$ .

**Экспериментальные данные степени деполяризации  $\rho$  линий ВКР пиридина**

Вещество	Концентрация	$\rho_{\nu_0}$	$\rho_{\nu_1}$	$\rho_{\nu_1A}$	$\rho_{\nu_2}$	Общее
Пиридин	100%	0.14	0.17	—	0.20	0.19
Пиридин—уксусная кислота	3 : 2	0.18	0.22	0.21	0.20	0.25
Пиридин—муравьиная кислота	2 : 2	0.26	0.22	0.25	0.25	0.31

Концентрация растворов взята в виде отношения числа молекул пиридина к числу молекул растворителя. Она подбиралась таким образом, чтобы линии ассоциатов молекул пиридина с частотой  $\nu_{14}$  и линия мономерных молекул с частотой  $\nu_1$  были в спектре приблизительно одинаковой интенсивности. Это облегчало измерение их степени деполяризации. Степень деполяризации измерялась с точностью  $\pm 0.01$ .

В этой же таблице приведена для сравнения степень деполяризации суммарного излучения ВКР пиридина ( $\rho_{\text{общее}}$ ), измеренная без спектрографа с помощью термобатареи. Видно, что степень деполяризации отдельных линий, измеренная фотографическим методом, соответствует степени деполяризации суммарного излучения, полученной с помощью термобатареи. Такое соответствие служит определенной гарантией надежности полученных результатов.

Полученные данные показывают, что линии ВКР пиридина имеют заметную деполяризацию по сравнению с излучением гигантского импульса рубинового лазера. В растворах степень деполяризации линий ВКР несколько возрастает по сравнению с чистым пиридином. Однако излучения одиночных молекул (линия с частотой  $\nu_1$ ) и ассоциированных ( $\nu_{14}$ ) имеют практически одинаковые степени деполяризации. Это дает возможность заключить, что межмолекулярное взаимодействие непосредственно не оказывает заметного влияния на степень деполяризации линий ВКР пиридина.

Обращает на себя внимание тот факт, что степени деполяризации возбуждающей линии и линий ВКР имеют близкие значения. По-видимому, их деполяризация вызвана каким-то общим процессом.

Не исключено, что наблюдаемая деполяризация спектра пиридина обусловлена в какой-то мере явлением самофокусировки лазерного излучения. Как было установлено ранее, в нитях самофокусировки сероуглерода [7] и бромбензола [8] за счет волноводных эффектов наблюдается заметная деполяризация света. Количественные измерения для сероуглерода [7] дали значение деполяризации света, равное 10%. Степень деполяризации линий ВКР пиридина, измеренная в настоящей работе, оказалась несколько большей. Возможно, что, кроме самофокусировки, на деполяризацию линий ВКР оказывают влияние и другие процессы.

#### Литература

- [1] M. Geltter, D. R. Bortfeld, W. R. Sooy. *Appl. Phys. Lett.*, **3**, 36, 1963.
- [2] B. P. Stoicheff. *Phys. Lett.*, **7**, 186, 1963.
- [3] W. Kaiser, M. Maier, J. A. Giordmaine. *Appl. Phys. Lett.*, **25**, 1965.
- [4] И. П. Кондленко, П. А. Коротков, В. И. Малый. *Опт. спектр.*, **31**, 909, 1971.
- [5] Н. И. Резаев, М. Б. Табиби. *Ж. прикл. спектр.*, **21**, 680, 1974.
- [6] Н. И. Резаев, М. Б. Табиби. *Опт. и спектр.*, **38**, 861, 1975.
- [7] E. Garmire, R. Y. Chiao, C. H. Townes. *Phys. Rev. Lett.*, **16**, 347, 1966.
- [8] P. Lallemand, N. Bloembergen. *Phys. Rev. Lett.*, **15**, 1010, 1965.

Поступило в Редакцию 20 июля 1977 г.

УДК 539.184 : 546.291

## О ДОЛГОЖИВУЩИХ СОСТОЯНИЯХ В ГЕЛИИ

*C. A. Багаев, O. B. Огинец, B. B. Смирнов и Ю. A. Толмачев*

В работах [1, 2] нами изучены экспериментальные кривые распада заселенностей возбужденных состояний Не I с  $n=5$ , полученные методом многоканального временного анализа. Разложение кривых распада на экспоненциальные составляющие про-